

# 谷氨酸流加发酵过程的神经网络优化研究

苗志奇 赵凌云 元英进\*

(天津大学生化工程系 天津 300072)

**摘要** 采用神经网络的方法,将模拟网络与优化网络结合组成双网系统,用于谷氨酸流加生产过程的模拟与优化分析。模拟网络中设置瓶颈结构,以加强网络的数据过滤与压缩能力,滤除工业数据中的噪音。利用训练算法本身,优化网络方便地实现了单变量、多变量优化,获得令人满意的结果。

**关键词** 神经网络, 谷氨酸生产, 优化, 流加发酵

**学科分类号** Q939.97

发酵过程是生化工程中一种常见的复杂过程,它具有高度非线性、时变性和不确定性等特点,同时生化过程影响因素众多,数据准确性较差,因此,采用经典的机理模型关系式描述发酵过程存在相当困难。而人工神经网络作为一种全新的系统分析工具,具有自适应能力和自学习能力,通过网络训练,可以相当准确地模拟系统行为;因而被广泛应用于生物工程的各个复杂过程,如发酵过程和细胞培养过程等。

近年来,将神经网络技术应用于生化过程的模拟与预测研究已成为一种趋势,而将该技术用于过程优化的研究却没有涉及。1992年,美国率先将神经网络用于优化、控制电炉炼钢,收效明显,被评为该年度六大杰出工程贡献之一<sup>[4]</sup>,展示了神经网络用于优化研究的极大优势。本文利用神经网络技术,对生化工程中的发酵过程——谷氨酸流加生产过程进行了模拟、优化研究。

## 1 数据来源

本文数据取自天津味精厂的谷氨酸流加生产批报数据。

## 2 网络模型

整个网络由模拟、优化两个子网络结合构成。利用模拟子网络作为发酵过程的数学模型,以获得过程初始条件与操作变量(各时刻流加量)对谷氨酸产量的影响;以模拟子网络为基础,优化子网络可以进行单变量优化与多变量优化。

### 2.1 模拟子网络

为减少生化数据,特别是工业批报数据中的误差对模拟结果的影响,在模拟子网络中

国家自然科学基金项目,批准号 29476248。

\* 通讯联系人,天津大学化工系 300072。

收稿日期:1996-03-27,修回日期:1997-10-13。

引入具有数据压缩、过滤作用的瓶颈结构<sup>[4]</sup>。若将网络各层处理单元的输出看作矢量,则数据通过瓶颈结构时,实现了由高维矢量到低维矢量,再到高维矢量的转换,如式(1)~(2)所示。信号中无本质联系的部分,如偶然误差、环境噪音,将在转换中丢失,因此减少了其对网络输出结果的影响。经过实验,以相同训练误差时预测误差最小为目标,选择瓶颈层处理单元数目为3。

$$\bar{O}_{\text{hl}}^{27} = f(\bar{I}_{\text{hl}}^{27}) = f(\bar{W}_{\text{dec}, \text{hl}}^{27 \times 3} * \bar{O}_{\text{dec}}^3) \quad (1)$$

$$\bar{O}_{\text{dec}}^3 = f(\bar{I}_{\text{dec}}^3) = f(\bar{W}_{\text{in}, \text{hl}}^{3 \times 23} * \bar{O}_{\text{in}}^{23}) = f(\bar{W}_{\text{in}, \text{hl}}^{3 \times 23} * \bar{I}_{\text{in}}^{23}) \quad (2)$$

网络输入变量由发酵过程的初始状态参数(pH值、糖浓度、OD值、尿素浓度),操作参数(18个固定时刻的尿素流加量)和发酵时间共23个参数组成,所以压缩比为3/23。网络输出变量选为谷氨酸的浓度。两个中间隐含层的处理单元数目分别为27,13。

## 2.2 优化子网络

优化子网络采用两层的对应线性联结网络,如图2所示。由于优化目标选为过程结束时的谷氨酸浓度,时间不能作为优化变量,所以每层节点数均为22个。优化子网络的权重分为三类:第一类指BIAS(阀值)与优化子网络输出层间的联结权重,提供优化过程的起始值,由工业数据中产物终浓度较高的数据记录决定,称为优化初始权重;第二类指BIAS与优化子网络输入层间的联结权重,在优化时保持恒定,称为固定权重。由固定权重提供优化子网络的输入信号。本文中固定权重都取为1;第三类指优化子网络中输入层节点与输出层节点间的对应联结权重,由于这些权重的调整使得优化得以实现,所以称其为优化权重。

优化子网络的输出信号及其调整可表示如式3~7所示:

$$O_i = W_i^* \text{const} + V_i \quad (3)$$

$$\Delta O_i = \Delta W_i^* \text{const} \quad (4)$$

$$W_i^{t+1} = W_i^t + \Delta W_i \quad (5)$$

$$O_i^{t+1} = O_i^t + \Delta W_i^* \text{const} \quad (6)$$

$$\Delta W_i^t = \alpha * \Delta W_i^{t-1} - (1 - \alpha - \beta) * \frac{\partial(y - \bar{y})^2}{\partial W_i} + \beta * \Delta W_i^t \quad (7)$$

在实际应用中,优化子网络与模拟子网络合二为一,结合成一个复合网络,以完成整个优化过程。因此整个复合网络的运行可分为训练、预测、优化三个阶段,前两个阶段由模拟网络单独完成。在优化阶段,固定模拟网络中的所有权重,利用优化算法调整优化权重,实现优化过程。

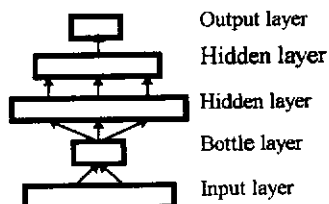


图1 模拟子网络结构示意图

Fig. 1 Framework of simulation sub-network

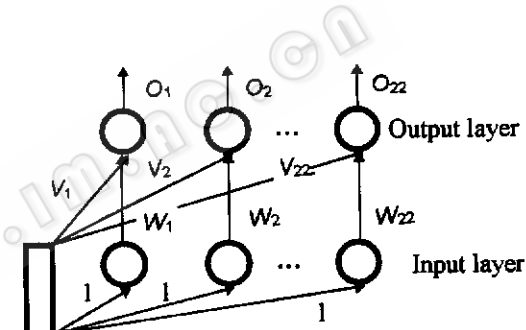


图2 优化子网络结构图

Fig. 2 Topology of the optimization network

© 中国科学院微生物研究所期刊联合编辑部 <http://journals.im.ac.cn>

但对于神经网络优化问题,有一个更方便的优化算法,即训练算法本身。与常规优化算法不同,训练算法需要训练样本,在这里不妨称为优化样本。上述优化子网络的特殊结构恰好可提供这个样本。由优化初始权重决定优化样本的输入信号,输出信号定为优化目标的期望值。本文中将现有记录中谷氨酸最高浓度的二倍作为优化样本的输出信号。训练算法用优化样本来训练网络,调整优化子网络的优化权重,进而改变模拟网络的输入信号,使整个复合网络的输出信号向着优化期望值靠近。当复合网络的输出信号不再变化时,优化过程终止。此时对应的模拟网络输入信号即为最优输入信号,对应模拟网络输出信号为过程最优值。

### 3 结果与讨论

#### 3.1 模拟结果

当网络经过五万次训练后,训练误差达到1%。取未经网络训练的几组数据进行预测,结果显示了较高的预测精度,预测值与测量值的对照如图3所示。

#### 3.2 单变量优化与因素分析

在进行优化时,规定优化权重中只有一个可调,而固定其余优化权重,则此时的优化称为单变量优化。研究该可调优化权重变化时,模拟网络输出信号的变化,称为因素分析。通过因素分析,可了解对应的过程影响因素对过程状态的贡献。为描述方便起见,各参数都采用无因次的相对量来表示,具体计量式如下:

$$\text{相对量} = \frac{\text{绝对量数值} - \text{对应参数变化范围下限}}{\text{对应参数变化范围上限} - \text{对应参数变化范围下限}} \quad (8)$$

本文分别分析了OD<sub>600</sub>初值、尿素初浓度、pH初值、葡萄糖初浓度对最终谷氨酸浓度的影响。各参数的变化范围如表1所示,分析结果列于图4。从图4中可看出尿素与葡萄糖均有底物抑制现象,若碳氮比在5~15范围内,则尿素的抑制出现的更早,抑制作用也更强,这也是选择尿素作为流加物的原因。pH初值在6.4附近菌体生长最快,谷氨酸产量最高,而且发酵过程中pH值一直不断下降。

#### 3.3 多变量优化

在实际工业生产中,发酵过程的初始状态参数基本确定,优化变量只能是操作变量,在本文中,由于温度、压力、通气量基本恒定不作为模型变量,所以操作变量特指各时刻尿素流加量。选择一数据记录构造优化样本,其中初始状态参数:pH=6.4, Urea=.052, OD=0.07, Glucose=14.0。

在发酵过程中,尿素作为氮源消耗。只有不断的流加尿素,才能将发酵液中尿素浓度

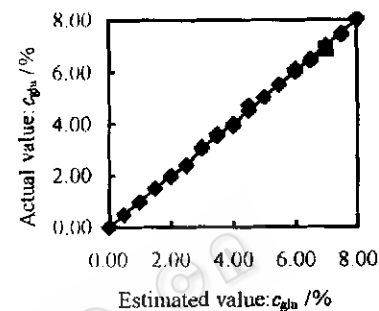


图3 谷氨酸浓度预测精度分析

Fig. 3 Accuracy of estimated value of glutamic acid concentration

表1 因素分析中各参数变化范围

Table 1 Variation range of variants during element analysis

Variant	Lower limit	Upper limit
Initial OD	0.02	0.14
Initial concentration of urea %	0.18	0.58
Initial pH	5.3	9.3
Initial concentration of glucose %	2	27

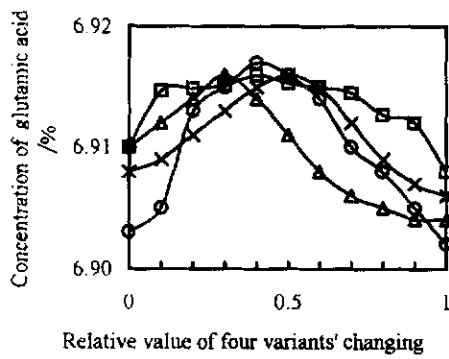


图 4 四种因素对最终谷氨酸浓度的影响

Fig. 4 The effects of four factors on the terminal concentration of glutamic acid  
 × Initial concentration of glucose, △ Initial pH,  
 ○ Initial concentration of urea, □ Initial OD

保持在最适水平。从优化结果(图 5)可看出,在适应期与稳定期,由于氮源消耗量较少,无需补加,所以流加量为零。在对数生长期,氮源消耗量较大,所以出现较大的流加量,而且在对数期的前半段对氮源需求旺盛,后期需求相对减少。

按照优化后的流加量进行流加,32、36h 谷氨酸浓度对照结果列于表 2。结果显示优化值比原数据提高产量 12%。

神经网络应用于发酵过程的模拟、优化方面,较经典方法具有相当优势。特别是优化子网络的引入,利用训练算法进行优化,提供了一种全新的优化思路。本文将神经网络用于因素分析与多变量优化,取得了满意结果。

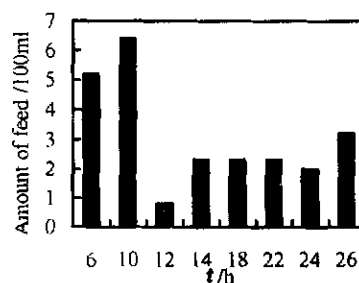


图 5 不同时刻的最优流加量

Fig. 5 Optimized feed rate at different time

表 2 优化操作前后结果比较

Table 2 Comparison between data before and after optimization

t/h	Industrial	Optimized
	data $c_{\text{glu}} / \%$	results $c_{\text{glu}} / \%$
32	6.94	7.76
36	7.02	7.90

## 参 考 文 献

- 1 蔡煜东,陈常庆,周斌.生物工程学报,1995,11(1):90~92
- 2 Shimizu H, Miura K, Shioya S et al. Biotechnology and Bioengineering, 1995, 47: 165~173
- 3 Estler M U. Bioprocess Engineering, 1995, 12: 205~207
- 4 刘裔安.人工智能在化学工程中的应用,北京:中国石化出版社,1995

## 符 号 说 明

BIAS 阈值

$c_{\text{glu}}$  谷氨酸浓度 (%)

const 常数

$f$  转换函数

glucose 糖浓度 (%)

$I_{\text{in}}^{23}$  23 维的输入层输入矢量

$I_{\text{rec}}^3$  3 维的瓶颈层输入矢量

$J_k^{27}$  27 维的第一隐含层输入矢量

$\bar{O}_{\text{in}}^{23}$  23 维的输入层输入矢量

$\bar{O}_{\text{rec}}^3$  3 维的瓶颈层输入矢量

$\bar{O}_{\text{ff}}^{27}$  27 维的第一隐含层输入矢量

$O_i$  优化网络第  $i$  个输出值

$O_i^t$  第  $t$  次训练时优化网络第  $i$  个输出值

$O_i^{t+1}$  第  $t+1$  次训练时优化网络第  $i$  个输出值

$\bar{W}_{in, tl}^{3 \times 23}$  3 \* 23 的输入层与瓶颈层间的联结权重矩阵  
 $\bar{W}_{soc, tl}^{27 \times 3}$  3 \* 23 的瓶颈层与第一隐含层间的联结权重矩阵  
 $W_i$  优化网络第*i*个优化权重  
 $W_i^t$  第*t*次训练优化网络第*i*个优化权重  
 $W_i^{t-1}$  第*t-1*次训练优化网络第*i*个优化权重  
 $W_i^{t+1}$  第*t+1*次训练优化网络第*i*个优化权重  
 $\Delta$  差值

$\alpha, \beta$  常数  
 $\Delta W_i^t$  除梯度法外其余训练算法给出的第*i*个优化权重的调整量  
 $y$  网络输出值  
 $\bar{y}$  优化目标值  
OD 光密度  
 $V_i$  第*i*个优化中心权重  
 $W_i$  第*i*个优化权重  
Urea 尿素浓度(%)

## A Neural Network for the Optimization of Fed-batch Fermentation of Glutamic Acid

Miao Zhiqi Zhao Lingyun Yuan Yingjin

(Department of Biochemical Engineering, Tianjin University, Tianjin 300072)

**Abstract** A neural network system, which composed of a simulation sub-network and an optimization sub-network, was developed to predict and optimize the industrial glutamic acid production of Fed-batch fermentation process. A data-compression and filtering network was incorporated into the simulation sub-network to extract "Noise-free" patterns in the input signals. The optimization sub-network can optimize the fermentation process over the single variable or the entire set of variables with training algorithm.

**Key words** Neural network, glutamic acid production, optimization, fed-batch fermentation